

## (11) プレストレストコンクリート桁の振動性状に関する研究

建設省土木研究所 田原保二

### (A) 緒言

プレストレスコンクリート桁の振動性状について考究する場合には先づコンクリートそのものが常に圧縮の状態にありながら振動応力を受けることから生すべきコンクリートの応力度～歪の履歴効果を無視し得ない。この様な効果は振動の初期に於いて特に顕著に現はれ、振動の回数を経るに従ひ漸次遞減し、或る限界回数以上になれば殆んど無視し得る程微少となるが、結局に於いて桁はこの限界回数迄に受けた効果の累加によつて二次的に発生するPC鋼線の有効緊張力の減少の為に若干の耐力を喪失する事となる。要するに繰返し荷重の影響はコンクリートの材料としての疲労は勿論上述の効果によつても収縮、クリープと同様な配慮がなされなければならない様に思はれる。

本論に於いては専ら上記の点についてのみ着目し、前段に於いて独自の仮定に基く理論的解析を試み、後段に於いて不完全ではあるが2,3の現場実験による結果を検証的に対比した。

以上の実験結果よりの推論に於ける限りこの様な現象の存在は是認されてよい様に思はれる。併しそのためには桁の設計に際し特に従来と異つた特別の配慮を要する程でもないと考えられる。

### (B) 理論

#### (1) コンクリート及びPC鋼線のヤング係数

振動しつゝある桁の第*i*回目過期でのヤング係数

$E_c(i)$  : コンクリートの加力曲線(圧縮)に沿うヤング係数

$E_c$  :  $i$  に關係なく一定の弾性係数に等しい減力曲線に沿うコンクリートのヤング係数

$\alpha$  : コンクリートに特有な常数(正の常数)

$\Delta n$  :  $\Delta n = \frac{E_c - E_c(0)}{E_c(0)}$  (極めて小なる正の常数)

$$\text{とおけば一般に } E_c(i) = E_c(0) \{ 1 + \Delta n (1 - e^{-\alpha i}) \} \quad \text{--- (1)}$$

$$n(i) = \frac{E_c}{E_c(i)} = \frac{E_c}{1 + \Delta n e^{-\alpha i}} \quad \text{--- (2)}$$

次に  $E_s(i)$  : PC鋼線の加力曲線(引張)に沿うヤング係数

$E_s$  :  $i$  に關係なく一定の弾性係数に等しい減力曲線に沿うPC鋼線のヤング係数

$\beta$  : PC鋼線に特有な常数(正の常数)

$\Delta m$  :  $\Delta m = \frac{E_s - E_s(0)}{E_s(0)}$  (極めて小なる正の常数)

$$\text{但し } m(i) = \frac{E_s}{E_s(i)} = \frac{E_s}{1 + \Delta m (1 - e^{-\beta i})} \quad \text{--- (3)}$$

$$E_s(i) = E_s(0) \{ 1 + \Delta m (1 - e^{-\beta i}) \} \quad \text{--- (4)}$$

#### (2) 桁の中立軸の位置

図-1に示す如き通常の断面で桁の下端より中立軸の位置までの距離を桁の下向き曲げ上向き曲げに対し夫々  $k_1(i)h$ ,  $k_2(i)h$  ( $h$  = 桁高) とすれば

$$k_1(i) = K_1 + K_2 \Delta n e^{-\alpha i} \quad \text{--- (5)}$$

$$k_2(i) = K_1 + K_3 \Delta n e^{-\alpha i} \quad \text{--- (6)}$$

$K_1$ ,  $K_2$  は桁に固有な常数で

$$K_1 = \frac{C_2}{C_1}, \quad K_2 = -\frac{1}{4C_1} \left[ \left( C_3 + \frac{2C_2}{C_1} \right)^2 - (C_3^2 - 4C_4) \right]$$

$$K_3 = +\frac{1}{4C_1} \left[ \left( C_5 + \frac{2C_2}{C_1} \right)^2 - (C_5^2 - 4C_6) \right] \div -K_2$$

$$C_1 = 2 + A_{u1} + A_{e1}, \quad C_2 = 1 + A_{u1} + A_{u2} - A_{ez}$$

$$C_3 = A_{e1}, \quad C_4 = A_{ez}, \quad C_5 = 2 + A_{u1}, \quad C_6 = 1 + A_{u1} + A_{u2}$$

$$A_{u1} = (2A_{u1} + A_{u2})(B_u - 1),$$

$$A_{u2} = -\{(A_{u1})^2 + A_{u1}A_{u2} + \frac{1}{3}(A_{u2})^2\}(B_u - 1)$$

$$A_{e1} = (2A_{e1} + A_{ez})(B_e - 1)$$

$$A_{ez} = -\{(A_{e1})^2 + A_{e1}A_{ez} + \frac{1}{3}(A_{ez})^2\}(B_e - 1)$$

$$A_{u1} = h_{u1}h, \quad A_{u2} = h_{u2}h, \quad A_{e1} = h_{e1}h, \quad A_{ez} = h_{ez}h$$

$$B_u = \frac{B_u}{B_w}, \quad B_e = \frac{B_e}{B_w}, \quad h_{u1}, \quad h_{u2}, \quad h_{e1}, \quad h_{ez}, \quad h, \quad B_u, \quad B_e$$

$B_w$ は図-1参照。

### (3) 柄の曲げ剛さ

柄の下向きの曲げ、上向きの曲げに対する曲げ剛さを夫々  $E(i)\check{I}(i)$ ,  $E(i)\check{I}(i)$  とすれば

$$E(i)\check{I}(i) = E_c(I_1 + I_2 \Delta n e^{-\alpha i}) \quad \text{--- (7)}$$

$$E(i)\check{I}(i) = E_c(I_1 + I_3 \Delta n e^{-\alpha i}) \quad \text{--- (8)}$$

但しここに

$$I_1 = D_2 \{ D_4(D_4^2 - D_5) + 1 + (D_4^2 + D_5 - 3)K_1 - 3(D_4 - 1)K_1^2 \}$$

$$= D_3 \{ D_6(D_6^2 - D_7) + (D_6^2 + D_7)K_1 - 3D_6K_1^2 \}$$

$$+ \{ (1 - K_1)^2 - K_1(1 - 2K_1) \}]$$

$$I_2 = D_1 K_2 \{ D_2 \{ (D_4^2 + D_5 - 3) - 6(D_4 - 1)K_1 \} - D_3 \{ (D_6^2 + D_7) \}$$

$$- 6D_6K_1 \} - 3(1 - 2K_1) \} - D_1 \{ D_3 \{ D_6(D_6^2 - D_7) + (D_6^2 + D_7)K_1 \}$$

$$+ D_7 \} K_1 - 3D_6K_1^2 \} - K_1^3 \}$$

$$I_3 = D_1 K_3 \{ D_2 \{ (D_4^2 + D_5 - 3) - 6(D_4 - 1)K_1 \} - D_3 \{ (D_6^2 + D_7) - 6D_6K_1 \} - 3(1 - 2K_1) \} + D_1 \{ D_2 \{ D_4(D_4^2 - D_5) + 1 + (D_4^2 + D_5 - 3)K_1 \}$$

$$- 3(D_4 - 1)K_1^2 \} + (1 - K_1)^3 \}$$

$$D_1 = \frac{1}{3}Bw\hbar^3, \quad D_2 = B_u - 1, \quad D_3 = B_e - 1, \quad D_4 = 1 - A_{u1} - \frac{A_{u2}}{2},$$

$$D_5 = 2(1 - A_{u1} - \frac{A_{u2}}{2})^2 + (\frac{A_{u2}}{2})^2, \quad D_6 = A_{e1} + \frac{A_{ez}}{2},$$

$$D_7 = 2(A_{e1} + A_{ez})^2 + (\frac{A_{ez}}{2})^2,$$

### (4) 振動に伴う PC鋼線の張力の変化

$\check{y}(i, x)$ :  $x$ 断面に於ける  $i$ 番目の周期の下向き曲げによる動的撓みの全振巾

$\hat{y}(i, x)$ :  $x$ 断面に於ける  $i$ 番目の周期で上向き曲げによる動的撓みの全振巾

$p(i, x)$ :  $\check{y}(i, x)$  に相当して PC鋼線に動的に作用する附加張力の最大増分  
(水平分力)

$\beta(i, x)$ :  $\hat{y}(i, x)$  に相当して PC鋼線に動的に作用する附加張力の最大減分  
(水平分力)

$F_C$  : 柄の有効断面積

$F_s$  : PC鋼線の有効断面積

$a_s(x)$ :  $x$ 断面に於ける柄下端より PC鋼線の中心までの距離を  $a_s(x)$ としたときの  
 $\frac{a_s(x)}{h}$  の値

計算の結果

(1) 完全にゲフウトが働く場合

$$\check{\rho}(i, x) = \frac{(\frac{\pi}{l})^2 k \check{y}_o(i) \{k(i) - a_s(x)\} \sin \frac{\pi x}{l}}{\frac{1}{F_s E_s(i)} + \frac{1}{F_c E_c(i)} [1 + (\frac{\pi}{l})^2 k \check{y}_o(i) \{k(i) - a_s(x)\} \sin \frac{\pi x}{l}]} \quad (9)$$

$$\hat{\rho}(i, x) = \frac{(\frac{\pi}{l})^2 k \hat{y}_o(i) \{k(i) - a_s(x)\} \sin \frac{\pi x}{l}}{F_s E_s(i) + \frac{1}{F_c E_c(i)} [1 - (\frac{\pi}{l})^2 k \hat{y}_o(i) \{k(i) - a_s(x)\} \sin \frac{\pi x}{l}]} \quad (10)$$

但し  $\check{y}_o(i), \hat{y}_o(i)$  は夫々  $x = \frac{l}{2}$  における  $\check{y}_o(i, x), \hat{y}_o(i, x)$  の値である。⑨ ⑩ 式でコンクリートの二次的な圧縮歪、伸び歪の影響を微少として無視し

$$\check{\rho}(i, x) = G_1 \check{y}_o(i) \{k(i) - a_s(x)\} \sin \frac{\pi x}{l} \quad (11)$$

$$\hat{\rho}(i, x) = G_1 \hat{y}_o(i) \{k(i) - a_s(x)\} \sin \frac{\pi x}{l} \quad (12)$$

但し  $G_1 = (\frac{\pi}{l})^2 k F_s E_s(i)$

(2) 全くゲフウトしない場合 (PC鋼線の摩擦の影響を無視す。)

$$\check{\rho}(i) = \frac{\frac{2\pi k}{l^2} \check{y}_o(i) \{k(i) - \frac{\pi}{2l} \int_a^b a_s(x) \sin \frac{\pi x}{l} dx\}}{\frac{1}{F_s E_s(i)} + \frac{1}{F_c E_c(i)} [1 + \frac{2\pi k}{l^2} \check{y}_o(i) \{k(i) - 2 \frac{\pi}{2l} \int_a^b a_s(x) \sin \frac{\pi x}{l} dx\}]} \quad (13)$$

$$\hat{\rho}(i) = \frac{\frac{2\pi k}{l^2} \hat{y}_o(i) \{k(i) - \frac{\pi}{2l} \int_a^b a_s(x) \sin \frac{\pi x}{l} dx\}}{\frac{1}{F_s E_s(i)} + \frac{1}{F_c E_c(i)} [1 - \frac{2\pi k}{l^2} \hat{y}_o(i) \{k(i) - \frac{\pi}{2l} \int_a^b a_s(x) \sin \frac{\pi x}{l} dx\}]} \quad (14)$$

$\check{y}_o(i), \hat{y}_o(i)$  は⑨ ⑩ と同意である。この場合もコンクリートの二次的な歪の影響を無視し

$$\check{\rho}(i) = G_2 \check{y}_o(i) \{k(i) - G_3\} \quad (15)$$

$$\hat{\rho}(i) = G_2 \hat{y}_o(i) \{k(i) - G_3\} \quad (16)$$

但し  $G_2 = \frac{2\pi}{l} k F_s E_s(i), G_3 = \frac{\pi}{2l} \int_a^b a_s(x) \sin \frac{\pi x}{l} dx$

$G_1, G_2, G_3$  は概により固有な常数である。

(3) PC鋼線の緊張力の変化に伴う附加曲げモーメントと之に対応する等価鉛直力

(1) 完全にゲフウトが働く場合

$$\check{M}_p(i, x) = -G_4 \check{y}_o(i) \{k(i) - a_s(x)\}^2 \sin \frac{\pi x}{l} \quad (17)$$

$$\hat{M}_p(i, x) = -G_4 \hat{y}_o(i) \{k(i) - a_s(x)\}^2 \sin \frac{\pi x}{l} \quad (18)$$

$$G_4 = \pi^2 \left( \frac{\pi}{l} \right)^2 F_s E_s(i), \quad \text{で行による常数}$$

次に図-2の通り  $\xi_j (j = 0, 1, 2, \dots, r)$  及び  $x$  の範囲  $\xi_{j-1} < x_j \leq \xi_j$  を定義すれば  $\xi_0 = 0, \xi_r = \frac{l}{2}$  であり、区間上の等価鉛直力  $g_p(x_j)$  及び  $\xi_j$  点上の等価鉛直力  $Q_p(\xi_j)$  は次式により求まる。

$$\check{g}_p(i, x_j) = -G_4 \check{y}_o(i) \left[ \left( \frac{\pi}{l} \right)^2 (k(i) - c_j)^2 - 2d_j^2 + 2(k(i) - c_j)d_j x_j + d_j^2 x_j^2 \right] \sin \frac{\pi x_j}{l} - 4 \left( \frac{\pi}{l} \right) (k(i) - c_j) d_j + d_j^2 x_j \cos \frac{\pi x_j}{l} \quad (19)$$

$$\hat{g}_p(i, x_j) = -G_4 \hat{y}_o(i) \left[ \left( \frac{\pi}{l} \right)^2 (k(i) - c_j)^2 - 2d_j^2 + 2(k(i) - c_j)d_j x_j + d_j^2 x_j^2 \right] \sin \frac{\pi x_j}{l} - 4 \left( \frac{\pi}{l} \right) (k(i) - c_j) d_j + d_j^2 x_j \cos \frac{\pi x_j}{l}, \quad (20)$$

$$\check{Q}_P(i, \xi_j) = -2G_u \check{y}_o(i)(d_j - d_{j+1})\{\check{k}(i) - \zeta_j + d_j \xi_j\} \sin \frac{\pi \xi_j}{\ell} \quad \text{--- (21)}$$

$$\hat{Q}_P(i, \xi_j) = -2G_u \hat{y}_o(i)(d_j - d_{j+1})\{\hat{k}(i) - \zeta_j + d_j \xi_j\} \sin \frac{\pi \xi_j}{\ell} \quad \text{--- (22)}$$

但しここに

$$a_s(x_j) = C_j - d_j x_j \quad (j = 1, 2, \dots, r)$$

(d) 全てグフウトしない場合

$$\check{M}_P(i, x) = -G_s \check{y}_o(i)\{\check{k}(i) - G_3\}\{\check{k}(i) - a_s(x)\} \quad \text{--- (23)}$$

$$\hat{M}_P(i, x) = -G_s \hat{y}_o(i)\{\hat{k}(i) - G_3\}\{\hat{k}(i) - a_s(x)\} \quad \text{--- (24)}$$

$$\text{こゝに } G_s = 2\pi \left(\frac{\ell}{\ell}\right)^2 F_s E_s(i) = \frac{2}{\pi} G_u \quad \text{で } F_s \text{ による常数}$$

次に(1)と同様  $\xi_j, x_j$  を定義し、 $\xi_j$  点上の等価鉛直力  $Q_P(\xi_j)$  を求めると

$$Q_P(i, \xi_j) = -G_s \check{y}_o(i)(d_j - d_{j+1})(\check{k}(i) - G_3) \quad \text{--- (25)}$$

$$\hat{Q}_P(i, \xi_j) = -G_s \hat{y}_o(i)(d_j - d_{j+1})(\hat{k}(i) - G_3) \quad \text{--- (26)}$$

但し  $j = 1, 2, \dots, r-1$  に対し

$$\check{Q}_P(i, \xi_0) = +\frac{1}{\delta} G_s \check{y}_o(i)(\check{k}(i) - C_1)(\check{k}(i) - G_3) \quad \text{--- (27)}$$

$$\hat{Q}_P(i, \xi_0) = +\frac{1}{\delta} G_s \hat{y}_o(i)(\hat{k}(i) - C_1)(\hat{k}(i) - G_3) \quad \text{--- (28)}$$

但し  $j = 0$  に対し。  $\delta$  は桁端  $\xi_0 = 0$  より

桁の外側に任意に小さくとつた距離で  $\delta > 0$  とし、 $\check{Q}_P(i, \xi_0), \hat{Q}_P(i, \xi_0)$  の作用点とする。(図-2 参照)

(6) 桁中央に周期的強制力を加えたときの桁の振動方程式を週期  $i$  について

$$\frac{1}{2} F_c l \frac{p_c}{g} \frac{d^2 y_o(t)}{dt^2} + \nu \frac{dy_o(t)}{dt} + \frac{\pi^2 E(l) I(i)}{Z l^3} y_o(t) = X(t) \quad \text{--- (29)}$$

とする。但し上式中  $(i-1) \frac{2\pi}{\omega} \leq i < i \frac{2\pi}{\omega}$  で

$p_c$  : 桁の単位重量、  $\nu$  : 減衰に係る係数

$X(i) : y_o(t)$  を一般座標にとるとときの一般力

又  $y_o(t) = \frac{1}{2} y_o \sin \omega t$ , とし,  $\omega$  は強制力の角速度で一定であるとする。

$X(t)$  は強制力による一般力  $X_o(t)$  と、 PC 鋼線の附加曲げモーメントによる一般力  $X_p(t)$  の和であつて

$$X_o(t) = Q_o \sin \omega t, \quad Q_o : \text{強制力の最大値} \quad \text{--- (30)}$$

又  $X_p(t)$  は計算の結果

(1) 完全にグフウトが働く場合

$$\check{X}_P(t) = -\left(\frac{\pi \ell}{\ell}\right)^2 F_s E_s(i) [U_1 \check{k}(i)^2 + U_2 \check{k}(i) + U_3] \check{y}_o(t) \quad \text{--- (31)}$$

$$\hat{X}_P(t) = -\left(\frac{\pi \ell}{\ell}\right)^2 F_s E_s(i) [U_1 \hat{k}(i)^2 + U_2 \hat{k}(i) + U_3] \hat{y}_o(t) \quad \text{--- (32)}$$

$$\text{ここで } U_1 = H_1 = \frac{\pi^2}{Z \ell}, \quad U_2 = H_2 + H_4, \quad U_3 = H_3 + H_5 \quad \text{で}$$

$$H_i = \frac{\pi}{\ell} \sum_{j=1}^r \left[ \left( \frac{\pi}{\ell} \right) L_{ij} - \frac{1}{2} L_{4j} \right] = \frac{\pi^2}{Z \ell}$$

$$\begin{aligned}
H_2 &= \frac{\pi}{\ell} \sum_{j=1}^r \left[ -\left(\frac{\pi}{\ell}\right) (2c_j L_1(j) - d_j L_2(j)) + (c_j L_4(j) - d_j L_6(j)) + \frac{3}{2} \left(\frac{\ell}{\pi}\right) d_j L_5(j) \right] \\
H_3 &= \frac{\pi}{\ell} \sum_{j=1}^r \left[ \left(\frac{\pi}{\ell}\right) \{c_j^2 L_1(j) - c_j d_j L_2(j) + \frac{1}{3} d_j^2 L_3(j)\} \right. \\
&\quad \left. - \left\{ \frac{1}{2} c_j^2 L_4(j) - c_j d_j L_6(j) + \frac{1}{2} d_j^2 L_8(j) \right\} \right. \\
&\quad \left. - \left\{ \frac{\ell}{\pi} \right\} \{2d_j^2 L_1(j) + \frac{3}{2} c_j d_j L_5(j) + \frac{1}{2} d_j^2 L_7(j)\} + \frac{1}{4} \left(\frac{\ell}{\pi}\right)^2 L_4(j) \right] \\
H_4 &= 2 \sum_{j=1}^{r-1} (d_j - d_{j+1}) L_9(j) \quad H_5 = -2 \sum_{j=1}^{r-1} (d_j - d_{j+1}) (c_j - d_j \xi_j) L_9(j) \\
\times L_1(j) &= \xi_j - \xi_{j-1}, \quad L_2(j) = \xi_j^2 - \xi_{j-1}^2, \quad L_3(j) = \xi_j^3 - \xi_{j-1}^3, \\
L_4(j) &= \sin \frac{2\pi\xi_j}{\ell} - \sin \frac{2\pi\xi_{j-1}}{\ell}, \quad L_5(j) = \cos \frac{2\pi\xi_j}{\ell} - \cos \frac{2\pi\xi_{j-1}}{\ell}, \\
L_6(j) &= \xi_j \sin \frac{2\pi\xi_j}{\ell} - \xi_{j-1} \sin \frac{2\pi\xi_{j-1}}{\ell}, \quad L_7(j) = \xi_j \cos \frac{2\pi\xi_j}{\ell} - \xi_{j-1} \cos \frac{2\pi\xi_{j-1}}{\ell}, \\
L_8(j) &= \xi_j^2 \sin \frac{2\pi\xi_j}{\ell} - \xi_{j-1}^2 \sin \frac{2\pi\xi_{j-1}}{\ell}, \quad (j=1, 2, \dots, r) \\
L_9(j) &= 1 - \cos \frac{2\pi\xi_j}{\ell}
\end{aligned}$$

(甲) 全々ゲフウトをしたい場合

$$X_p(t) = -\left(\frac{\pi h}{\ell}\right)^2 F_s E_s(\zeta) [U_4 \hat{f}_2(\zeta)^2 + U_5 \hat{f}_2(\zeta) + U_6] \hat{\eta}_0(t) \quad \text{--- (33)}$$

$$X_p(t) = -\left(\frac{\pi h}{\ell}\right)^2 F_s E_s(\zeta) [U_4 \hat{f}_2(\zeta)^2 + U_5 \hat{f}_2(\zeta) + U_6] \hat{\eta}_0(t) \quad \text{--- (34)}$$

$\zeta > 1/2$

$$U_4 = -H_8 = -\frac{4}{\ell}, \quad U_5 = H_6 - H_9, \quad U_6 = H_7 - H_{10}$$

$$\begin{aligned}
\text{但し } H_6 &= \sum_{j=1}^{r-1} (d_j - d_{j+1}) L_{13}(j), \quad H_7 = \sum_{j=1}^{r-1} (d_j - d_{j+1}) L_{13}(j) \\
&\quad \times \sum_{j=1}^r \left( \frac{\ell}{\pi} d_j L_{10}(j) + c_j L_{11}(j) - d_j L_{12}(j) \right) \\
H_8 &= \frac{4}{\ell}, \quad H_9 = \frac{4}{\ell} \left[ \sum_{j=1}^r \left\{ \left(\frac{\ell}{\pi}\right) d_j L_{10}(j) + c_j L_{11}(j) - d_j L_{12}(j) \right\} C_j \right] \\
H_{10} &= -\frac{4}{\ell} C_j \sum_{j=1}^r \left\{ \left(\frac{\ell}{\pi}\right) d_j L_{10}(j) + c_j L_{11}(j) - d_j L_{12}(j) \right\}
\end{aligned}$$

$$L_{10}(j) = \sin \frac{\pi \xi_j}{\ell} - \sin \frac{\pi \xi_{j-1}}{\ell}, \quad L_{11}(j) = \cos \frac{\pi \xi_j}{\ell} - \cos \frac{\pi \xi_{j-1}}{\ell}$$

$$L_{12}(j) = \xi_j \cos \frac{\pi \xi_j}{\ell} - \xi_{j-1} \cos \frac{\pi \xi_{j-1}}{\ell}, \quad L_{13}(j) = \sin \frac{\pi \xi_j}{\ell}$$

従つて  $U_1, U_2, U_3$  及び  $U_4, U_5, U_6$  は天井に固有の常数となる。

(30), (31), (32), (33), (34) の結果を (29) 式に代入し  $\hat{\eta}_0(t)$  について解くと

(1) ゲフウトが完全に働く場合

$$\begin{aligned}
\hat{\eta}_0(t) &= \frac{2Q_0 \sin(\omega t - \theta)}{\left\{ \left(\frac{\pi h}{\ell}\right)^2 (E(i)) \hat{I}(i) + h^2 F_s E_s(i) \hat{f}_2(i)^2 + R_1 \hat{f}_2(i) + R_2 \right\} - \frac{W_c \omega^2}{g} t^2 + (2V\omega)^2} \\
&\quad + \hat{\gamma}_0(t) \quad \text{--- (35)}
\end{aligned}$$

但し  $\theta$  は  $\omega t$  との位相のづれ  $\hat{\gamma}_0(t)$  は自由減衰振動で抵抗により次第に零に近付く。

$$\begin{aligned}
\hat{\gamma}_0(t) &= \frac{2Q_0 \sin(\omega t - \theta)}{\left\{ \left(\frac{\pi h}{\ell}\right)^2 (E(i)) \hat{I}(i) + h^2 F_s E_s(i) \hat{f}_2(i)^2 + R_1 \hat{f}_2(i) + R_2 \right\} - \frac{W_c \omega^2}{g} t^2 + (2V\omega)^2} + \gamma_0(t) \quad \text{--- (36)}
\end{aligned}$$

$W_c = \int_c F_c \, l$  で天井の自重、 $R_1, R_2$  は天井に固有な常数で

$$R_1 = \frac{H_2 + H_4}{H_1} = \frac{U_2}{U_1}, \quad R_2 = \frac{H_3 + H_5}{H_1} = \frac{U_3}{U_1}$$

(回) 全サクアウトをしない場合  $2Q_0(\sin(\omega t - \theta''))$

$$Y_0(x) = \frac{\left[ \left( \frac{\pi^4}{\rho^3} (E(i') I(i) - \frac{8}{\pi^2 k^2} F_S E_S(i) \bar{F}_S(i)^2 + R_3 \bar{F}_R(i) + R_4) - \frac{W_C}{g} W^2 \right)^2 + Y_0'(x)^2 \right]^{\frac{1}{2}}}{(2 \pi W)^2} \quad (37)$$

$\theta''$ ,  $\gamma_0''$ ( $\tau$ ) は(1)の場合と同意である。

$$\ddot{\eta}_d(t) = \frac{2\omega_0 \sin(\omega t - \theta'')}{\left[ \frac{\pi^4}{\ell^3} (E(i)I(i) - \frac{8}{\pi} R^2 F_s E_s(i) \ell^2 (i^2 + R_3 R_4) + \frac{16C}{g} w^2)^2 \pi (2\omega w)^2 \right]^{\frac{1}{2}}} + \eta_d'''(t)$$

$$W_C = \rho_c F_C l, \quad R_3 = -\frac{H_6 - H_9}{H_8} = -\frac{U_5}{U_4} \quad R_4 = -\frac{H_7 - H_{10}}{H_8} = \frac{U_6}{U_4}$$

(38)

#### (7) 振動による動的撓み振幅の増加とPC鋼線緊張力の減少

週期  $i$  の初期と終期に於ける、桁中央での動的撓み振幅の増加を  $\Delta y_i(i)$  とすれば

### (イ) グラウトが完全に働く場合

$$\Delta y_0(i) = \hat{y}_0(i) - \check{y}_0(i) = 2(\hat{y}_0(t)_{\max} - \check{y}_0(t)_{\max})$$

計算の結果、若干の省略を行つて

$$\Delta y(i) = 4Q_0 \left\{ \lambda_1 - \frac{1}{2} (\lambda_2 \Delta t e^{-di} + \lambda_3 \Delta t e^{+di}) \right\}$$

故に  $i = 1 \sim N$  の間での増加の合計  $y(N)$  は

既に述べた如きの間での增加的合計(%)は

$$y_0(N) = \sum_{i=1}^N \Delta y_0(i)$$

$$= -2Q_0\lambda_2 \cdot \Delta n \frac{1-e^{-\lambda N}}{\lambda-1} \div -2Q_0\lambda_2 \cdot \Delta n \frac{1-e^{-\lambda N}}{\lambda}$$

但し  $\lambda$  が極めて小なるとき。 (39)

$$\lambda_1 = 0, \quad \lambda_3 = 0$$

$$\lambda_2 = 2 \frac{\ell^3}{\pi^4} S_1 S_2 S_3 - \frac{3}{2}$$

$$S = E_1 T + \frac{E^2}{4} F_S F_S (k)$$

$$S_1 = E_c I_1 + R^2 F_S E_S (K_1^2 + R, K_1 + R_2) - \frac{\rho^3}{\pi^4} \frac{W_0}{g} W^2$$

$$S_2 = \hbar^2 F_S E_S \left\{ (2K_1 + R_1) (K_3 - K_2) \right\} + E_C (I_3 - I_2)$$

$$S_z = S_1^2 + \frac{Q_S}{\omega^2} x \sim 1/\omega^2 w^2$$

$$n_3 = n_1 + \frac{1}{\pi^8} \times 4V^2 w^2$$

(ロ) グラウトが全く効かない場合

$$\Delta y_0(i) = \hat{y}_0(i) - \bar{y}_0(i) = 2(\hat{y}(t)_{\max} - \bar{y}(t)_{\max})$$

$$= 4Q_0 \left\{ \lambda_4 - \frac{1}{2} (\lambda_5 \Delta n e^{-\alpha i} + \lambda_6 \Delta m e^{-\beta i}) \right\}$$

$$Y_0(N) = \sum_{i=1}^N \Delta Y_0(i)$$

$$= -2Q_0\lambda_5 \Delta n \frac{1-e^{-\Delta n}}{\Delta n} = -2Q_0\lambda_5 \Delta n \frac{1-e^{-\Delta n}}{\Delta n}$$

但し~~シ~~が極めて小なるとき。

これに

$$\lambda_4 = 0 \quad \lambda_6 = 0 \\ \lambda_5 = 2 \frac{\ell^3}{\pi^4} S_4, S_5, S_6^{-\frac{3}{2}}$$

$$\text{又 } S_4 = E_c I_1 - \frac{8}{\pi^2} \mu^2 F_s E_s (K_1^2 + R_3 K_1 + R_4) - \frac{\ell^3}{\pi^4} \frac{W_c}{g} w^2 \\ S_5 = - \frac{8}{\pi^2} \mu^2 F_s E_s \{(2K_1 + R_3)(K_3 - K_2)\} + E_c (I_3 - I_2) \\ S_6 = S_4^2 + \frac{\ell^6}{\pi^8} \cdot 4 V^2 w^2$$

(37) (40) 式で  $\lambda_2, \lambda_5$  は図-1 の如き断面では負号をとるから振幅は N と共に増大する。

又 P.C 鋼線の緊張力の減少量を週期  $i$  の初期と終期に於いて  $\Delta p(i)$  とすると、 $x = \frac{\ell}{2}$  の橋中央では

(1) グラウトが完全に働く場合

$$\Delta p(i) = \bar{p}(i) \max - \frac{1}{2} \{ \bar{p}(i) \max + \bar{p}(i+1) \max \} \\ = G_i \{ \bar{y}_0(i) (\bar{f}_0(i) - C_r) - \frac{1}{2} \{ \bar{y}_0(i) (\bar{f}_0(i) - C_r) + \bar{y}_0(i+1) (\bar{f}_0(i+1) - C_r) \} \} \\ = Q_0 M_i (M_2 \Delta n e^{-\beta i} + M_3 \Delta m e^{-\beta i})$$

故に  $i = 1 \sim N$  の間での減少の合計  $P(N)$  は

$$P(N) = \sum_{i=1}^N \Delta p(i) = Q_0 M_i \{ M'_2 \Delta n (1 - e^{-\beta N}) + M'_3 \Delta m (1 - e^{-\beta N}) \} \quad (41)$$

$$M_1 = - \frac{2}{\pi^2} \mu \ell F_s E_s \cdot S_3^{-\frac{3}{2}}$$

$$M'_2 = (K_1 - C_r) S_1 \left\{ \frac{2S_2}{\ell} + S_2(\beta) \cdot \frac{1}{1+\beta} \right\} - S_3 \left\{ \frac{2(K_3 - K_2)}{\ell} + K_2 \cdot \frac{1}{1+\beta} \right\}$$

$$M'_3 = (K_1 - C_r) S_1 \cdot S_2(\beta) \cdot \frac{1}{1+\beta}$$

$$S_2(\beta) = E_c I_2 + \mu^2 F_s E_s (2K_1 + R_1) K_2, \quad S_2(\beta) = \mu^2 F_s E_s (K_1^2 + R_3 K_1 + R_2)$$

(2) グラウトが全く働くかない場合

$$\Delta p(i) = \bar{p}(i) \max - \frac{1}{2} \{ \bar{p}(i) \max + \bar{p}(i+1) \max \} \\ = G_2 \{ \bar{y}_0(i) - G_3 \} - \frac{1}{2} \{ \bar{y}_0(i) (\bar{f}_0(i) - G_3) + \bar{y}_0(i+1) (\bar{f}_0(i+1) - G_3) \} \\ = Q_0 M_4 (M_5 \Delta n e^{-\beta i} + M_6 \Delta m e^{-\beta i})$$

$$\therefore P(N) = \sum_{i=1}^N \Delta p(i) = Q_0 M_4 \{ M_5 \Delta n (1 - e^{-\beta N}) + M'_6 \Delta m (1 - e^{-\beta N}) \} \quad (42)$$

$$M_4 = - \frac{4}{\pi^3} \mu \ell F_s E_s \cdot S_6^{-\frac{3}{2}}$$

$$M_5 = (K_1 - G_3) S_4 \left\{ \frac{2S_5}{\ell} + S_5(\beta) \frac{1}{1+\beta} \right\} - S_6 \left\{ \frac{2(K_3 - K_2)}{\ell} + K_2 \frac{1}{1+\beta} \right\}$$

$$M'_6 = (K_1 - G_3) S_4 \cdot S_5(\beta) \cdot \frac{1}{1+\beta}$$

$$S_5(\beta) = E_c I_2 - \frac{8}{\pi^2} \mu^2 F_s E_s (2K_1 + R_3) K_2,$$

$$S_5(\beta) = - \frac{8}{\pi^2} \mu^2 F_s E_s (K_1^2 + R_3 K_1 + R_4)$$

(41), (42) 式で  $M'_2, M'_3, M'_6$  は 図-1 の断面では負号をとるから有効緊張力は N と共に減少する。

(8) 振動による静的撓みの増加

P.C 鋼線の緊張力の減少に伴い桁の静的撓みは N と共に増大する。即ち  $\Delta P(N, x)$  を週期 N 迄の減少量とし  $\Delta M(N, x) = \Delta P(N, x) \{ \bar{f}_0(N) - \alpha_s(x) \}$  を  $\Delta P(N, x)$  に基く曲げモーメントの減少とすれば、Y(N, x) を週期 N 迄に於ける静的撓みの増加として

$$\frac{d^2 Y(N, x)}{dx^2} = \frac{\Delta M(N, x)}{E(N) \bar{f}(N)}$$

$$\therefore Y(N, x) = \frac{1}{E(N) \bar{f}(N)} \iint_N \Delta P(N, x) \{ \bar{f}_0(N) - \alpha_s(x) \} dx \cdot dx \quad (43)$$

$x = \frac{\ell}{2}$  では  $P(N, \frac{\ell}{2})$  は (4) 式の  $P(N)$  と一致する。又  $E(N) I(N) = E_c(I_1 + I_2 \Delta n e^{-\lambda N})$ ,  $I(N) = K_1 + K_2 \Delta n e^{-\lambda N}$ ,  $a_s(x) = c_j - d_j x_j$  ( $j = 1, 2, \dots, r$ ) で与えられるから  $x = \frac{\ell}{2}$  における静的挠みの増加  $Y(N, \frac{\ell}{2})$  は次式により容易に求められる。即ち

$$(1) グフウトが完全に働くとき \quad \Delta P(N, x) = P(N) \sin \frac{\pi x}{\ell} \quad (44)$$

$$\therefore Y(N, \frac{\ell}{2}) = -2Q_0 \mu_2 \Delta n \frac{1-e^{-\lambda N}}{2} \times Z_1(N, \frac{\ell}{2}) \times \frac{\pi}{E_c(I_1 + I_2 \Delta n e^{-\lambda N})}$$

$$\text{ここで } Z_1(N, \frac{\ell}{2}) = \sum_{j=1}^r \iint_{S_{j-1}}^{S_j} ((K_1 + K_2 \Delta n e^{-\lambda N}) - (c_j - d_j x_j)) \sin \frac{\pi x_i}{\ell} dx_i dx_j \quad (45)$$

$$(2) グフウトが全く働くかないとき \quad \Delta P(N, x) = P(N) \quad (46)$$

$$\therefore Y(N, \frac{\ell}{2}) = -2Q_0 \mu_2 \Delta n \frac{1-e^{-\lambda N}}{2} \times Z_2(N, \frac{\ell}{2}) \times \frac{\pi}{E_c(I_1 + I_2 \Delta n e^{-\lambda N})}$$

$$\text{ここで } Z_2(N, \frac{\ell}{2}) = \sum_{j=1}^r \iint_{S_{j-1}}^{S_j} ((K_1 + K_2 \Delta n e^{-\lambda N}) - (c_j - d_j x_j)) dx_j dx_i \quad (47)$$

$Z_1(N, \frac{\ell}{2})$ ,  $Z_2(N, \frac{\ell}{2})$  は夫々桁によつて固有な常数と  $N$  のみの函数となる。 $Z_1(N, \frac{\ell}{2})$ ,  $Z_2(N, \frac{\ell}{2})$  は常に正号をとるから  $Y(N, \frac{\ell}{2})$  は  $N$  と共に増大し  $N = \infty$  で一定値となる。

### (C) 実験値との検証

赤城見橋(支間  $14.6m$ ), 星野橋(支間  $17.44m$ )何れもグフウトを施さない桁について振動試験を行つた結果(B)に述べた各常数及び  $Y(N, \frac{\ell}{2})$  の実験値は表-1 及び図-3 の通りであつて、図-3より を逆に推定することが出来る。

かゝる  $\Delta n$  を試み (4) 式に代入し  $P(N)$  を計算すると  $N = \infty$  に対しては  $x = \frac{\ell}{2}$  で

$$\text{赤城見橋 } \sigma(\infty) = 7.5 \text{ ton} = \text{初期緊張力の } 5\%$$

$$\text{星野橋 } \sigma(\infty) = 6.5 \text{ ton} = 4.2\%$$

之だけ振動により緊張力を喪失した結論となる。

但し以上の結論は振動回数4万回～10万回の資料より得たものであり、実験時間4時間～8時間中のコンクリート、PC鋼線のクリープ、リラクスゼイションの影響を全く無視したものであり、かゝる影響を実験値に於いて予め考慮し差引きれば緊張力の喪失率は更に相当小廻るものと思はれる。

表 - 1

区分 當数	赤城見橋	星野橋
$B_1, B_2, B_w$	9.5 cm, 3.0 cm, 1.2 cm	10.0 cm, 3.2 cm, 1.4 cm
$\mu_1, \mu_2$	1.2 cm, 4 cm	1.3 cm, 4.5 cm
$\mu_1, \mu_2$	1.4 cm, 9 cm	1.6 cm, 9 cm
$h, l$	7.5 cm, 14.6 m	9.0 cm, 17.44 m
$(S_j, a_s(S_j), h)$	$(0, 34cm); (43m, 8.9cm)$	$(0, 41.7m); (2.845m, 14.3cm); (5.775m, 8.25cm)$
$Q_0$	23.6 kg	18.5 kg
$\omega$	34.02	30.14
$D$	4.42	4.19
初期緊張力	140 ton	168 ton

図-1

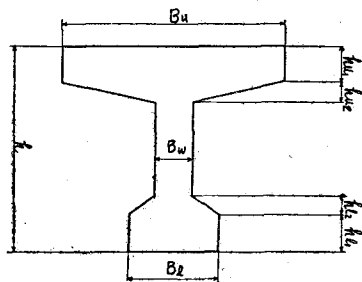


図-2

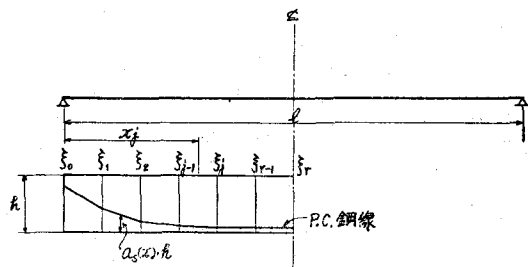
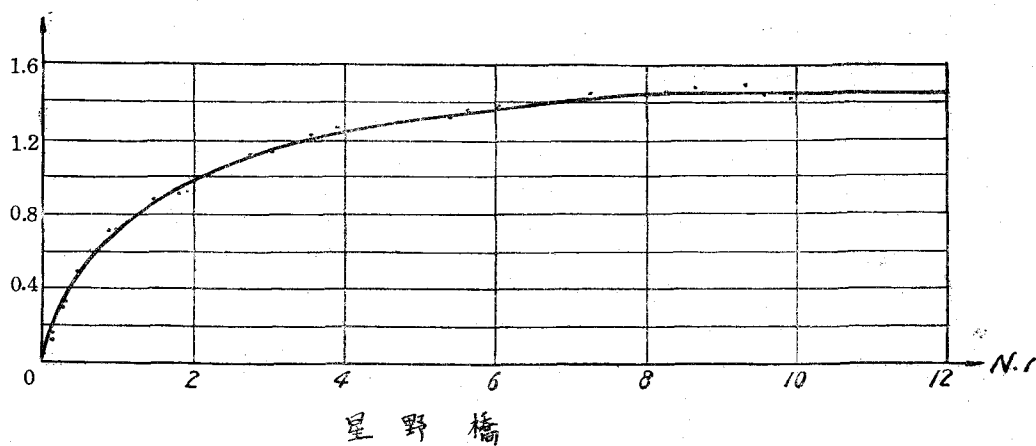
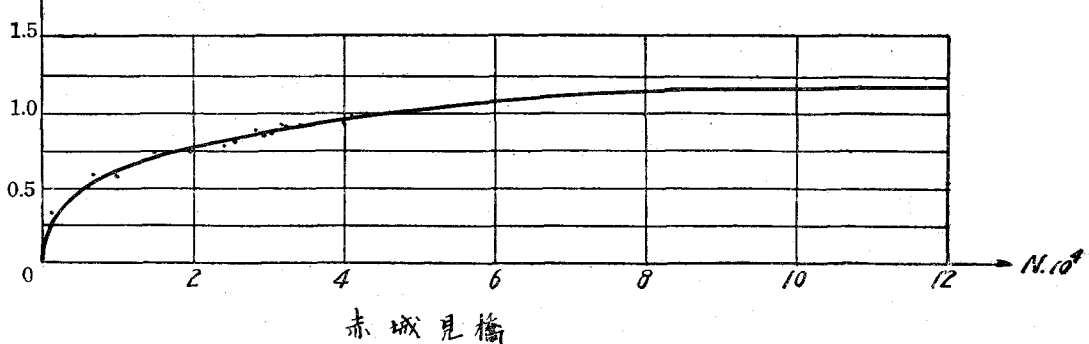


図-3

(71)  
—(69)—

[PC研究発表会(11) 田原]